

### 3.5 Spații de culoare (RGB, CIE XYZ, CIE Lab, CIE Luv)

#### 3.5.1 Sistemul RGB

Modelul RGB este un model aditiv care presupune că plecând de la negru (fără culoare) prin adăugarea celor trei culori de bază (primare de la cele trei surse de lumină *Red*, *Green*, *Blue*) se obțin celelalte nuanțe până la alb (vezi Figura 18 a). Prin combinarea a două dintre acestea în proporție egală se obțin culorile aditive secundare (complementare - *Cyan*, *Yellow*, *Magenta*). Într-un model substractiv culorile de bază primare sunt *Cyan*, *Yellow* și *Magenta*. În acest model se presupune că se pleacă de la alb (absența culorilor), iar prin scăderea (ștergerea) culorilor se ajunge la negru (vezi Figura 18 b).

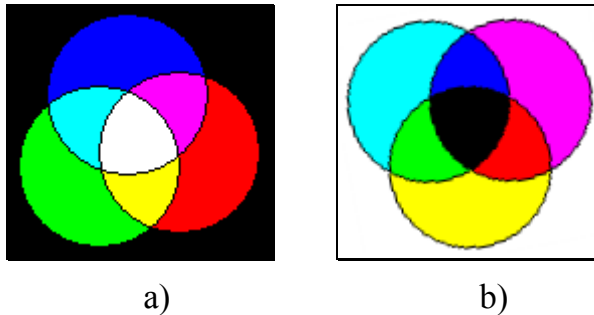


Figura 18 – Sistemul RGB / CYM

În sistemul RGB reprezentăm o culoare prin trei coordonate (numere naturale) reprezentând cantitățile culorilor de bază, roșu, verde și albastru (*Red*, *Green*, *Blue*), deci în spațiul *RGB* (vezi Figura 19) sau cel complementar (*Cyan*, *Yellow*, *Magenta*). Utilizând opt bit pentru reprezentarea fiecărei coordonate (valori a componentei *red*, *green* sau *blue*) vom obține un spațiu al culorilor cu valori din domeniul  $[0..255]^3$ , adică  $2^{24}$  valori distincte, deci peste 16 milioane de nuanțe.

## Cresterea Realismului Imaginilor

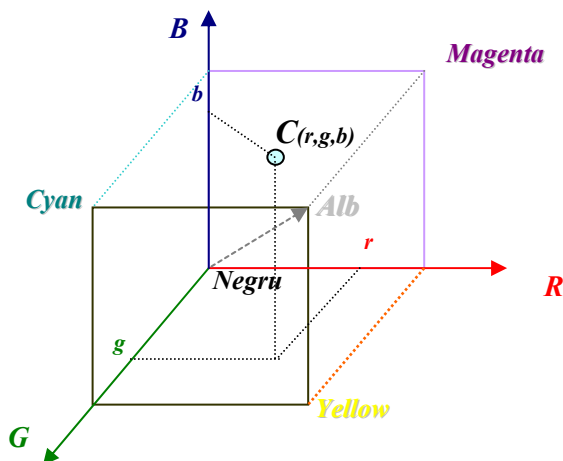


Figura 19 - Spațiul culorilor în modelul **RGB**

Spectrul este o bandă continuă de lungimi de undă emisă, reflectată sau transmisă de diverse obiecte. Ochiul uman nu poate vedea întregul spectru, doar culori cu valori din domeniul [400nm-700nm] corespunzător [albastru-roșu]. În practică, spectrul este reprezentat ca un vector de numere care măsoară intensitatea diferitelor lungimi de undă. Usual, un spectrofotometru are o rezoluție de 1-3 nm, măsurând de la 100 la 300 de valori pentru a măsura domeniul vizibil. Presupunând că un aparat foarte simplu scanează un spectru la fiecare 3 nm (100 de puncte pentru 300 nm) și măsoară fiecare punct cu o precizie de doar 8 bit. Aceasta înseamnă că aparatul poate distinge mai mult de 10240 de spectre diferite (atâtea numere pot fi codificate pe 8 bit x 100 puncte = 800 bit de date). Dar oamenii pot distinge doar în jur de 10 milioane de culori. Aceasta se întâmplă pentru că ochiul are doar trei tipuri de conuri receptoare în retină care răspund diferitelor lungimi de undă a luminii. Astfel, creierul receptează doar trei semnale pentru fiecare spectru, acestea dându-ne percepția culorii.

### 3.5.2 Interpretări colorimetrice computerizate

Un sistem tricromatic poate defini orice culoare combinația a trei culori de bază în cantități unic precizate (culorile fundamentale sunt alese astfel încât nici una să nu poată fi obținută prin amestecul celorlalte două). Cel mai cunoscut sistem tricromatic este sistemul RVI (R-roșu, V-verde, I-indigo) caracterizat prin cele trei culori de bază având următoarele lungimi de undă: roșu  $\lambda = 700$  nm; verde  $\lambda = 546,1$  nm; indigo  $\lambda = 435$  nm.

Orice culoare monocromatică spectrală, într-un sistem tricromatic este caracterizată prin trei valori numite valori spectrale sau coeficienți de distribuție. În sistemul RVI, există culori care sunt caracterizate și prin coeficienți negativi (coordonate negative ale culorilor de bază). Pentru a elimina valorile negative la precizarea unei culori, s-au definit trei culori virtuale (notate cu X, Y, Z) care nu mai prezintă inconvenientul precizat. Aceste culori constituie valorile fundamentale ale culorii în sistemul tricromatic CIE (Commission Internationale De L'Eclairage), fiind denumite și coordonate tricromatice sau valori tristimu.

### 3.5.3 Caracterizarea și măsurarea culorilor în sisteme tricromatice.

În sistemul CIE, o culoare poate fi reprezentată grafic într-un sistem tridimensional prin punctul de coordonate (X,Y,Z). Totalitatea punctelor ce corespund tuturor culorilor posibile constituie *spațiul culorilor* (vezi **Error! Reference source not found.** Figura 20).

## Cresterea Realismului Imaginilor

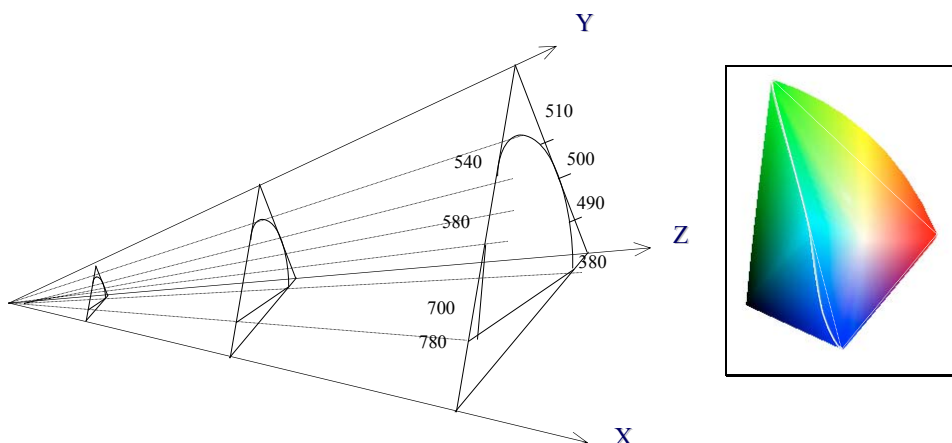


Figura 20 - Spațiul culorilor în sistemul de coordonate CIE XYZ

*Măsurarea culorilor* în sistemul CIE constă în determinarea valorilor X,Y,Z. În acest scop se consideră cei trei factori care caracterizează culoarea, și anume:

- *iluminantul*, reprezentat prin **curba de distribuție a energiei**  $E(\lambda)$ ;
- *corpul colorat*, reprezentat prin **curbele de remisiune (reflexie)**  $R(\lambda)$ ;
- *ochiul omenesc* caracterizat prin **curbele de distribuție spectrală** pentru observatorul normal  $\bar{x}(\lambda)$ ,  $\bar{y}(\lambda)$ ,  $\bar{z}(\lambda)$ .

Pentru o lungime de undă  $\lambda$ , **energia transmisă de corpul colorat** este egală cu produsul  $E(\lambda) \cdot R(\lambda)$ .

**Energia transmisă pentru toate lungimile de undă** ale spectrului vizibil ( $\varphi$ ) este egală cu  $\sum_{\lambda} E(\lambda) \cdot R(\lambda)$ , și reprezintă **interacțiunea iluminant-corp**.

Pentru a se determina interacțiunea iluminant-corp colorat-ochi, funcția  $\varphi$  trebuie înmulțită cu fiecare din cele trei funcții  $\bar{x}(\lambda)$ ,  $\bar{y}(\lambda)$ ,  $\bar{z}(\lambda)$ .

## Grafica 3D+

Se obțin astfel pentru X, Y, și Z următoarele formule de calcul:

$$X = \sum_{\lambda=380}^{770} E(\lambda) \cdot R(\lambda) \cdot \bar{x}(\lambda)$$

$$Y = \sum_{\lambda=380}^{770} E(\lambda) \cdot R(\lambda) \cdot \bar{y}(\lambda)$$

$$Z = \sum_{\lambda=380}^{770} E(\lambda) \cdot R(\lambda) \cdot \bar{z}(\lambda)$$

Pentru calcule, mărimile  $E(\lambda) \cdot \bar{x}(\lambda)$ ;  $E(\lambda) \cdot \bar{y}(\lambda)$ ;  $E(\lambda) \cdot \bar{z}(\lambda)$ , sunt normate și înscrise în tabele, astfel încât la o măsurare rămâne de determinat doar curba de remisiune  $R(\lambda)$ .

Pentru sistemul CIELAB 76, coordonatele tricromatice X, Y, Z sunt transformate în alte trei coordonate:

$$\begin{aligned} &L^* \text{ (coordonata luminozitate),} \\ &a^* \text{ (coordonata roșu-verde) și} \\ &b^* \text{ (coordonata galben-albastru) :} \end{aligned} \quad \left\{ \begin{aligned} &L^* = 116 \cdot f(Y/Y_0); \\ &a^* = 500 \cdot [f(X/X_0) - f(Y/Y_0)] \\ &b^* = 200 \cdot [f(Y/Y_0) - f(Z/Z_0)] \end{aligned} \right.$$

unde  $X_0$ ,  $Y_0$  și  $Z_0$  sunt coordonatele tricromatice care se obțin în cazul unui material cu suprafață reflectantă perfect albă:

$$\left\{ \begin{aligned} &X_0 = \sum_{\lambda=380}^{770} E(\lambda) \cdot \bar{x}(\lambda) \\ &Y_0 = \sum_{\lambda=380}^{770} E(\lambda) \cdot \bar{y}(\lambda) \\ &Z_0 = \sum_{\lambda=380}^{770} E(\lambda) \cdot \bar{z}(\lambda) \end{aligned} \right.$$

iar  $f(\Phi) = \Phi^{1/3} - 16/116$ .

## Cresterea Realismului Imaginilor

Vizualizarea culorilor în sistemul CIE Lab se poate vedea în Figura 21. În *adâncime* este măsurată luminozitatea, iar pe *orizontala* roșu-verde, iar pe *verticală* galben-albastru:

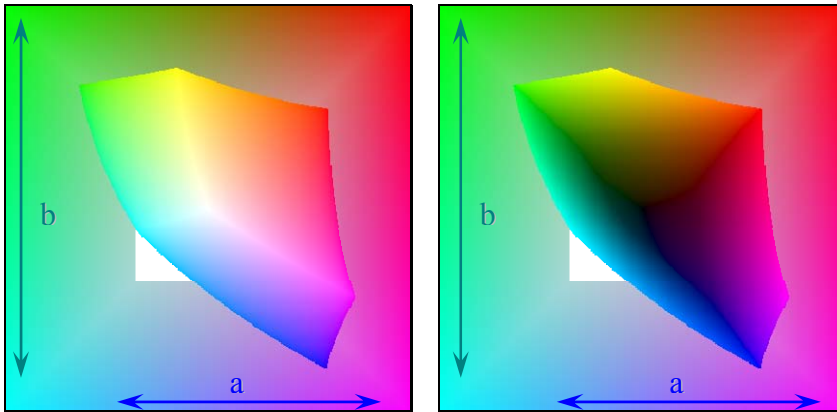


Figura 21 - CIE L a\* b\* văzut dinspre *alb*, respectiv dinspre *negru*

**Diferența de culoare**  $\Delta E^*$  dintre două culori (probe) reprezintă distanța geometrică (*Euclidiană*) dintre punctele corespunzătoare (celor două probe) din spațiul culorilor. În sistemul **CIELAB**, aceasta se calculează cu ajutorul formulei:

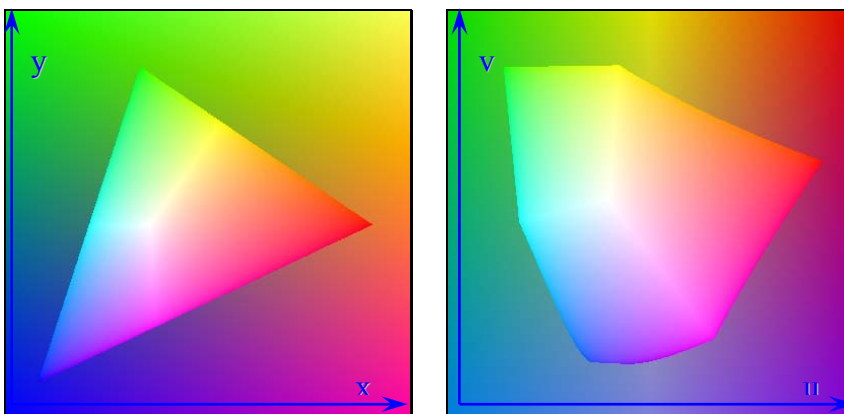
$$\Delta E^* = (\Delta L^{*2} + \Delta a^{*2} + \Delta b^{*2})^{1/2}$$

unde:

$\Delta L^*$  reprezintă diferența de *luminozitate* dintre cele două probe,

$\Delta a^*$  reprezintă diferența dintre coordonatele *roșu-verde*,

$\Delta b^*$  reprezintă diferența dintre coordonatele *galben-albastru*.



a)  $\Delta$  CIE XYZ (1931)

b) CIE L u'v' (1976)

Figura 22 - Spațiul CIE al culorilor vizibile.

### 3.5.4 Conversia RGB → CIE-Lab

Trecerea de la modelul RGB la CIE Lab se realizează prin intermediul spațiului XYZ în două etape astfel:

a) RGB → CIE XYZ:

$$\begin{pmatrix} X \\ Y \\ Z \end{pmatrix} = \begin{pmatrix} 0.412453 & 0.357580 & 0.180423 \\ 0.212671 & 0.715160 & 0.072169 \\ 0.019334 & 0.119193 & 0.950227 \end{pmatrix} * \begin{pmatrix} R \\ G \\ B \end{pmatrix}$$

b) XYZ → CIE Lab:

$$L^* = \begin{cases} 116 * (Y/Y_n)^{1/3} - 16 & \text{pentru } Y/Y_n > 0.008856 \\ 903.3 * Y/Y_n & \text{în rest} \end{cases}$$

$$a^* = 500 * ( f(X/X_n) - f(Y/Y_n) )$$

$$b^* = 200 * ( f(Y/Y_n) - f(Z/Z_n) )$$

$$\text{unde } f(t) = \begin{cases} t^{1/3} & \text{pentru } t > 0.008856 \\ 7.787 * t + 16/116 & \text{în rest} \end{cases}$$

### 3.5.5 Conversia CIE-Lab → RGB

Trecerea de la sistemul CIE Lab la modelul RGB la se tot prin spațiul intermediar XYZ:

a) CIE Lab → XYZ :

$$X = X_n * (P + a^*/500)^3$$

$$Y = Y_n * P^3$$

$$Z = Z_n * (P - b^*/200)^3$$

$$\text{unde } P = (L^* + 16) / 116$$

b) CIE XYZ → RGB astfel:

$$\begin{pmatrix} R \\ G \\ B \end{pmatrix} = \begin{pmatrix} 3.240479 & -1.537150 & -0.498535 \\ -0.969256 & 1.875992 & 0.041556 \\ 0.055648 & -0.204043 & 1.057311 \end{pmatrix} * \begin{pmatrix} X \\ Y \\ Z \end{pmatrix}$$

## Cresterea Realismului Imaginilor

### 3.5.6 Conversia RGB → CIE-Luv

După conversia din spațiul RGB în XYZ (descrișă mai sus la 3.5.4 a) se va efectua conversia în spațiul CIE Luv (Figura 22) astfel:

$$L = 116 * (Y/Y_n)^{1/3} - 16$$

$$U = 13 * L * (u - u_n)$$

$$V = 13 * L * (v - v_n)$$

unde

$$u = 4*X / (X + 15*Y + 3*Z)$$

$$v = 9*Y / (X + 15*Y + 3*Z)$$

$$u_n = 4*x_n / (-2*x_n + 12*y_n + 3)$$

$$v_n = 9*y_n / (-2*x_n + 12*y_n + 3)$$

### 3.5.7 Conversia CIE-Luv → RGB

Mai întâi vom efectua conversia din spațiul CIE Luv în spațiul XYZ:

$$Y = Y_n * ((L+16)/116)^3$$

$$X = -9*Y*u / ((u-4)*v - u*v)$$

$$Z = (9*Y - 15*v*Y - v*X) / 3*v$$

unde

$$u = U / (13*L) + u_n$$

$$v = V / (13*L) + v_n$$

apoi se va efectua conversia în spațiul RGB (descrișă mai sus la 3.5.5 b).

## 3.6 Creșterea realismului imaginilor tridimensionale

Acest paragraf prezintă câteva metode de îmbunătățire a imaginilor în sensul apropierei calității lor de imaginile reale. Dintre aceste metode prezentate în literatura de specialitate (*eliminarea suprafețelor și muchiilor acoperite* pentru extragerea elementelor de frontieră ascunse, *perspectiva* pentru informațiile de profunzime, *proiecțiile dinamice* pentru reprezentarea obiectelor în mișcare, *indici de intensitate* sau *variația de culoare* utilizate pentru modificarea culorilor din adâncime, *texturi și detalii de suprafață* pentru reprezentarea microstructurilor fețelor, *secționarea* cu un plan frontal utilizată la vizualizarea interiorului obiectului, *iluminarea curpurilor* prin utilizarea luminilor și umbrelor și *stereografia* pentru redarea în relief a a



obiectelor tridimensionale, dintre care am ales doar câteva pe care le-am considerat mai importante (vezi [[7,11, 29,63]]).

### 3.6.1 Eliminarea suprafețelor acoperite

Algoritmii de eliminare a zonelor *invizibile* sunt în general mari consumatori de resurse (memorie și timp). Există trei clase de algoritmi și anume:

a) *Algoritmi spațiu-imagine* prin care se compară fiecare pixel cu fiecare față, deci de complexitate  $P \cdot F$  ( $P$ =numărul de pixeli din fereastră,  $F$ =numărul de fețe ale corpului) pentru a decide cărei fețe îi aparține fiecare pixel în scopul colorării corespunzătoare;

b) *Algoritmi spațiu-obiect* care compară fețele două câte două, deci de complexitate  $F \cdot F$ , pentru a decide relația de acoperire dintre fețe în scopul determinării unei ordini de transpunere a fețelor pe ecran astfel încât fețele mai îndepărtate se transpun primele iar cele mai apropiate vor fi desenate ultimele (se vor acoperi una pe alta).

c) *Algoritmi hibridi* care utilizează elemente convenabile din primele două clase.

Pentru simplificarea comparațiilor dintre fețe sunt utilizate diverse tipuri de *ferestre ecran* (unidimensionale, bidimensionale sau chiar tridimensionale) care conțin fețele studiate și pentru care comparațiile sunt mult mai ușoare (vezi Figura 23).

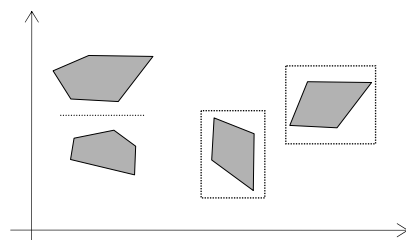


Figura 23 – Compararea fețelor

Dintre algoritmii mai cunoscuți (prezențați în [[7]]) amintim următorii:

- *Buffer de adâncime (Z-buffer)*,
- *Linie de baleiaj*,
- *Sortarea în adâncime (depth-sort)* și
- *Subdivizarea ariilor în arii elementare disjuncte.*

## Cresterea Realismului Imaginilor

### • Algoritmul Z-buffer

Algoritmul utilizează o matrice D care conține pentru fiecare pixel  $P_{ij}$  cota  $z$  a punctului reprezentat prin  $P_{ij}$  (în urma proiecției) și notată cu  $z(P_{ij})$ . Presupunem că observatorul se află pe axa Oz, așa cum am văzut în paragraful precedent.

*Algoritmul Z-Buffer este:*

*Pentru fiecare pixel  $P_{ij}$  din fereastra ecran execută*

*Colorează ( $P_{ij}$ , Culoarea\_de\_fond);*

*$D_{i,j} :=$  minimă, negativă (minus infinit);*

*Pentru fiecare față  $f$  a obiectului execută*

*Pentru fiecare pixel  $P_{ij}$  corespunzător feței  $f$  execută*

*Dacă  $z(P_{ij}) > D_{ij}$  Atunci { (\*) }*

*Colorează ( $P_{ij}$ , Culoarea\_feței  $f$ );*

*$D_{i,j} := z(P_{ij})$ ;*

*Sf\_Z\_Buffer.*

Datorită faptului că acest algoritm utilizează multă memorie pentru a reprezenta matricea D, acesta se poate modifica pentru a rezolva această problemă pentru o linie sau pentru o fereastră ecran.

Pentru a micșora durata de execuție a algoritmului prezentat, calculele de distanță ( $z(P_{ij})$ ) pot fi evitate prin determinarea ecuației planului care conține fiecare față și determinarea recurentă a cotei  $z$  așa cum se poate vedea în Figura 24. Pentru trei puncte ale unei fețe alese se poate determina ecuația planului ce conține fața :  $Ax+By+Cz+D=0$ .

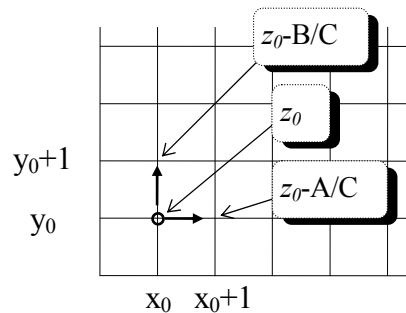


Figura 24 – Calcul  $z$

Odată calculată cota  $z_0$  a unui pixel  $P_{x_0,y_0}$ , se deduce ușor că pentru punctele vecine cotele sunt egale cu  $z_0-A/C$  respectiv  $z_0-B/C$ .

## Grafica 3D+

Acest algoritm, prezentat pentru eliminarea fețelor ascunse, se poate ușor adapta pentru eliminarea muchiilor ascunse și de asemenea se poate extinde pentru fețe cu un anumit grad de transparență, modificând condiția de vizibilitate (\*) din algoritm.

### • Algoritmul Linie de baleiaj

Acest algoritm este o extindere a algoritmului de umplere a interiorului unui poligon și poate fi utilizat în cazul reprezentărilor poliedrale, deoarece fețele în acest caz sunt poligoane.

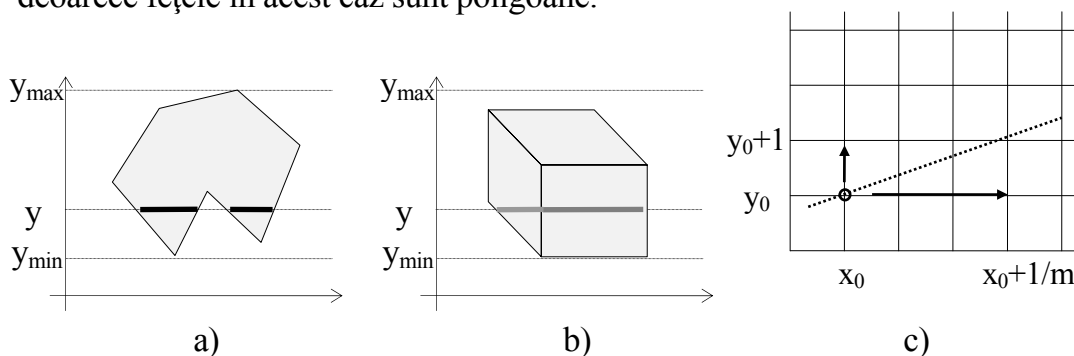


Figura 25 – Linie de baleiaj

Algoritmul de umplere (Figura 25-a,b) este:

*Pentru fiecare linie de baleiaj  $y := y_{min}, y_{max}$  execută*

*Determină intersecțiile  $x_i$  cu fiecare latură;*

*Ordonează crescător șirul  $x_i$ ;*

*Pentru fiecare pereche de coordonate determinate*

*Trasează segmente orizontale de la  $x_{2*k-1}$  la  $x_{2*k}$ .*

Pentru a nu mai calcula de fiecare dată intersecțiile linie de baleiaj cu laturile poligonului se poate utiliza o listă (ordonată după  $x_{min}$ ) de segmente active (notată cu  $Lsa$  care conține laturile intersectate la un moment dat de linia de baleiaj) fiecare conținând informațiile :

$y_{min}, x_{min}, y_{max}, 1/m$  ( $m$ -reprezintă panta drepte, iar  $1/m$  creșterea pe  $x$  corespunzătoare creșterii cu o unitate pe  $y$ , vezi figura (Figura 25-c) .

## Cresterea Realismului Imaginilor

$Lsa := \emptyset;$

Pentru fiecare linie de baleiaj  $y := y_{\min}, y_{\max}$  execută

Dacă  $\exists$  o latură  $s$  a poligonului pentru care  $y = y_{\min}$  Atunci

$Lsa := Lsa \cup \{s\};$

Intersecțiile  $x_i$  sunt valorile  $x_{\min}$  din  $Lsa$ ;

Pentru fiecare pereche de coordonate  $x_i$

Trasează segmente orizontale de la  $x_{2^{*k-1}}$  la  $x_{2^{*k}}$ ;

Pentru fiecare segment  $s \in Lsa$  execută

$x_{\min} := x_{\min} + 1/m;$

Dacă  $y = y_{\min}$  Atunci  $Lsa := Lsa \setminus \{s\};$

Pentru algoritmul de eliminare a fețelor acoperite vom mai reține în lista de segmente și fețele care formează fiecare muchie. Pentru fiecare segment orizontal desenat se va determina care este fața cea mai apropiată care îl conține și se va colora în culoarea feței respective până la următoarea intersecție. Dacă în listă nu mai apar segmente, atunci ordinea rămâne aceeași, deci nu se mai determină față cea mai apropiată. Este de asemenea utilă o informație binară pentru fiecare față care ne va spune dacă linia de baleiaj intră sau părăsește fața respectivă pentru a ounaște care fețe sunt active și trebuie luate în considerare la determinarea culorii de desenare.

### • Algoritmul depth-sort

Algoritmul constă în ordonarea fețelor astfel încât cea mai depărtată de observator se transpune prima iar cea mai apropiată ultima. În felul acesta fețele se vor acoperi efectiv de către fețele mai apropiate.

Pentru aceasta se vor efectua următoarele:

- Se ordonează fețele după valoarea  $z$  maximă;
- Se transpun prin baleiaj fețele în ordinea determinată.

Pentru a determina această ordine va trebui să determinăm o relație de acoperite între fețe, după care putem să efectuăm ordonarea.

## Grafica 3D+

Două fețe  $F_i$  și  $F_j$  pot fi în următoarele situații:

- I.  $F_i$  Acoperă  $F_j$  ( $F_i \supset F_j$ );
- II.  $F_i$  Acoperită de  $F_j$  ( $F_i \subset F_j$ );
- III.  $F_i, F_j$  Disjuncte ( $F_i \cap F_j = \emptyset$ );
- IV.  $F_i, F_j$  Se intersectează ( $F_i \cap F_j \neq \emptyset$ ).

În primele trei situații putem rezolva problema colorării, iar în situația IV se vor împărți fețele astfel încât putem reduce problema la unul din cele trei cazuri favorabile (I-III).

În algoritm vom utiliza o *matrice de acoperire* în care un element  $M_{ij} = 1$  dacă fața  $i$  acoperă fața  $j$  (I) și  $M_{ij} = 0$  în rest. *Coefficientul de acoperire*  $A_i$  ne va da numărul de fețe acoperite de fața  $i$ .  $A_i$  se poate calcula ca suma elementelor de pe linia  $i$  din matricea de acoperire  $M$ .

Algoritmul este următorul:

*Cât timp  $\exists$  fețe  $F_i$  pentru care  $A_i \geq 0$  execută*

*$i := \text{Alege}(F_i) \{ \text{pentru care } A_i = 0 \};$*

*Transpune ( $F_i$ );  $A_i = -1$ ;*

*Pentru toate fețele  $F_j$  care acoperă fața  $F_i$  decrementează  $A_j$ ;*

Pentru a determina relațiile dintre două fețe  $F_i$  și  $F_j$  se procedează după cum urmează:

- Se compară extinderile ecran și dacă acestea nu se suprapun atunci fețele vor fi în relația III;
- Se determină ecuația planului ce conține fața  $F_i$  apoi se verifică dacă fața  $F_j$  și observatorul sunt de aceeași parte a planului, caz în care suntem în situația II, altfel în situația I. Se procedează analog pentru a determina ecuația planului ce conține fața  $F_j$  apoi se verifică dacă fața  $F_i$  și observatorul sunt de aceeași parte a planului determinat, etc.;
- Pentru zona comună se poate analiza chiar fiecare pixel pentru a stabili față cea mai apropiată.

## Cresterea Realismului Imaginilor

### • Algoritmul prin subdivizare a ariilor

Această metodă compară zone dreptunghiulare ale ferestrei (numite *arii elementare* notate în cele ce urmează cu  $A_E$ ) cu proiecții ale fețelor corpului. Relațiile dintre o arie elementară  $A_E$  și o față  $F_i$  următoarele (vezi Figura 26):

- I.  $A_E$  Conține  $F_i$  ( $A_E \supset F_i$ );
- II.  $A_E$  Conținută în  $F_i$  ( $A_E \subset F_i$ );
- III.  $A_E, F_i$  Disjuncte ( $A_E \cap F_i = \emptyset$ );
- IV.  $A_E, F_i$  Se intersectează parțial ( $A_E \cap F_i \neq \emptyset$ ).

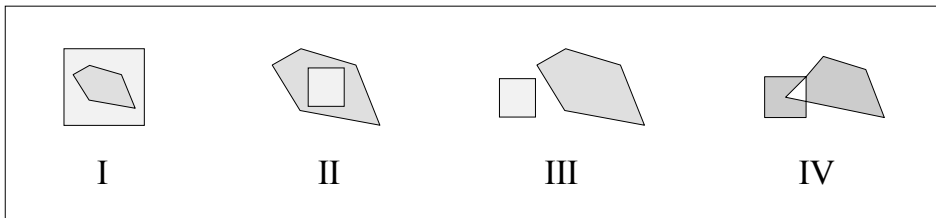


Figura 26 – Poziții relative ale ariilor elementare

Desenarea conținutului unei arii elementare se realizează astfel:

- 1) Dacă  $A_E \cap F_i = \emptyset$  (III),  $\forall F_i$  atunci  $A_E$  se colorează cu culoarea de fond;
- 2) Dacă există o singură față  $F_i$  pentru care  $A_E \cap F_i \neq \emptyset$  (IV), atunci exteriorul ( $A_E \setminus F_i$ ) se colorează cu culoarea de fond, iar interiorul ( $A_E \cap F_i$ ) cu culoarea feței  $F_i$ ;
- 3) Dacă există o singură față  $F_i$  pentru care  $A_E \subset F_i \neq \emptyset$  (I), atunci  $A_E$  se colorează cu culoarea feței  $F_i$ ;
- 4) Dacă există mai multe fețe  $F_i$  pentru care avem  $A_E \cap F_i \neq \emptyset$  (IV) dar există o singură față  $F_j$  pentru care  $A_E \subset F_j$  și  $F_j$  este cea mai apropiată, atunci  $A_E$  se colorează cu culoarea feței  $F_j$ ;
- 5) Dacă nu se poate aplica nici o regulă dintre primele patru descrise, atunci se împarte  $A_E$  în subarii (de exemplu în patru, vezi Figura 27) și se verifică

din nou condițiile 1) - 4). Dacă nici atunci nu sunt verificate, se împarte din nou, și tot așa până se ajunge la arie egală cu un pixel, situație în care problema poate fi rezolvată.

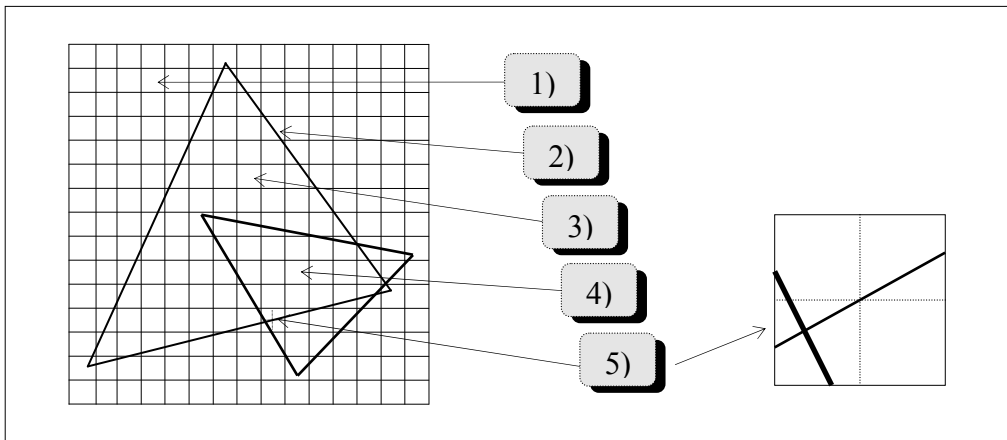


Figura 27 – Împărțirea în subarii

### 3.6.2 Texturi

Utilizarea texturilor în grafica tridimensională are un rol important în creșterea realismului imaginilor (mai ales dacă acestea prezintă mici imperfecțiuni, adică defecte intenționat introduse), deoarece aceste detalii de pe suprafața obiectelor dau multe informații (material, poziție, dimensiuni, etc.) despre corpul reprezentat. Există trei categorii de texturi și anume:

- a) *Constante* ca mărime și orientare pe suprafața corpului,
- b) *Variabile* ca mărime și orientare în funcție de poziția fețelor,
- c) *Neregulate* aleatoare ca mărime și orientare (fractali).

#### a) *Texturile constante*

Acestea se utilizează atât în grafica 2-D cât și în grafica 3-D pentru tapetarea fondurilor scenelor. Acestea se pot defini printr-o matrice de culori sau în sistem vectorial prin coordonate relative ale capetelor segmentelor descrise. Există biblioteci de texturi caracteristice diferitelor obiecte sau materiale cum ar fi: *fagure*, *lemn*, *parchet*, *sticlă*, *apă*, *iarbă*, etc.

## Cresterea Realismului Imaginilor

Aplicarea unei texturi se poate face la umplere, unde un punct  $P_{ij}$  se va colora ținând cont de o textură definită prin matricea  $T$  cu  $m$  linii și  $n$  coloane numerotate de la 0 la  $m-1$  respectiv  $n-1$  în culoarea  $T_{i \text{ Mod } m, j \text{ Mod } n}$  (vezi Figura 28).

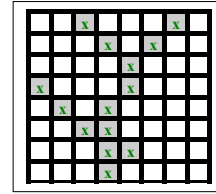


Figura 28 – Textură constantă

O aplicație interesantă și utilă a texturilor constante o reprezintă utilizarea lor în simularea culorilor combinate, de exemplu dacă descriem un model asemănător cu cel al pătrățelelor de pe tabla de șah folosind două culori: alb și galben, vom genera o culoare de umplere între cele două (o nuanță de galben deschis). În definirea unui astfel de model trebuie evitate hașurile.

### a) Texturile variabile

Un exemplu des utilizat de texturi variabile îl constituie aplicarea textelor pe fețele corpurilor (simboluri scrise pe suprafața obiectelor).

Pentru aceasta este nevoie de o *digitizare* a caracterelor prin segmente sau prin linii poligonale închise (vezi Figura 29). Există o adevărată industrie de fonturi care crează biblioteci de caractere .

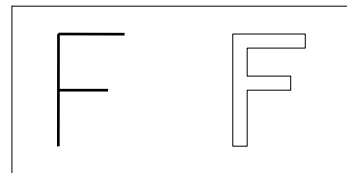


Figura 29 - Textură variabilă

Aplicarea pe fața dorită a unei texturi variabile se realizează în trei etape:

- Se aduce caracterul pe fața dorită prin două rotații (într-un plan paralel cu fața pe care se dorește aplicarea) apoi printr-o translație (Figura 30);
- Se proiectează punctele critice care descriu caracterul odată cu obiectul;
- Se construiește textura unind punctele critice sau prin umplere.

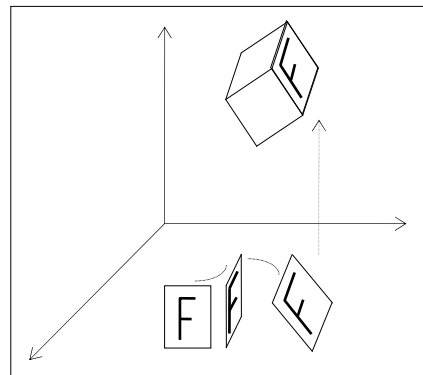


Figura 30 – Aplicarea texturii



**Observație.** La caracterele nesimetrice trebuie avută în vedere și normala la plan, deoarece caracterele pot fi aplicate invers (ca în Figura 31).

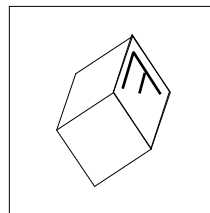


Figura 31 – Textutura aplicată invers

### ***b) Texturile neregulate***

Aceste texturi sunt utilizate în generarea aleatoare a unor forme de simulare a realității, de exemplu *arbori, nori, dune de nisip, valuri, lemn*, etc. Realizarea unor astfel de texturi se poate face prin:

- *Variația aleatoare a direcției de iluminare;*
- *Distorsionarea aleatoare a normalei la plan;*
- *Structuri fractale.*

Fractalii, aceste *variațiuni geometrice ciudate*, pot fi de *formă regulată* (prin repetarea unui motiv sau detaliu primar) sau de *formă neregulată* (definiți probabilistic).

Fractalii de *formă regulată* se definesc prin curbe, suprafețe, volume, funcții, etc., sau printr-o regulă de construcție.

Fiind dată o mulțime de primitive grafice  $\Pi$  (corespunzătoare unei mulțimi de comenzi de desenare) cu ajutorul cărora se construiește detaliu primar  $\delta \in \Pi^*$  (o bază de plecare), se va aplica succesiv o transformare  $\varphi$  de  $n$  ori. Această transformare poate fi precizată printr-o funcție, prin reguli de producție (dacă generarea se realizează prin gramatici, așa cum vom vedea în cele ce urmează), grafic sau printr-un subalgoritm. Desenul corespunzător descrierii obținute reprezintă fractalul dorit .

Considerăm o mulțime de comenzi  $\Pi = \{\tau_1, \tau_2, \dots, \tau_p\}$ , conținând primitive grafice pentru descrierea unei familii de fractali. Aceste primitive grafice pot fi desenate prin comenzile grafice corespunzătoare, deci putem obține un desen (reprezentând un fractal) executând un astfel de șir de comenzi.

## Cresterea Realismului Imaginilor

O familie de fractali cu structură regulată este mulțimea fractalilor obținută plecând de la detaliul primar  $\delta \in \Pi^*$ , prin dezvoltarea pas cu pas prin regula de transformare (creștere)  $\varphi$ . Această regulă este aplicată fiecărei primitive grafice (comenzi de deplasare a cursorului din  $\Pi$ ), adică  $\varphi : \Pi \rightarrow \Pi^*$ . Această transformare dă regula de creștere a fiecărei primitive și este specifică fiecărei familii de fractali.

Funcția de dezvoltare  $t : \Pi^* \rightarrow \Pi^*$  care permite unui fractal să se dezvolte (să crească) în întregime cu o iterație (cu un  $an$ ) este definită astfel:

$$t(\tau_1\tau_2\dots\tau_m) = \begin{cases} \varphi(\tau_1) & \text{dacă } m=1, \\ \varphi(\tau_1)\varphi(\tau_2)\dots\varphi(\tau_m) & \text{dacă } m>1. \end{cases}$$

Descrierea unui fractal după  $n$  ani se poate obține aplicând funcția de transformare de  $n$  ori, astfel:

$$t^n : \Pi^* \rightarrow \Pi^*, \quad t^n(w) = \begin{cases} t(w) & \text{dacă } n=1, \\ t(t^{n-1}(w)) & \text{dacă } n>1. \end{cases}$$

Putem spune că  $\tau^n(\delta)$  returnează șirul de comenzi de descriere a fractalului în al  $n$ -lea an de dezvoltare, ceea ce înseamnă că putem defini o familie de fractali precizând mulțimea primitivelor grafice  $\Pi$ , detaliu primar  $\delta \in \Pi^*$  și regula de dezvoltare  $\varphi$ .

O familie de fractali de formă regulată este limbajul pictural următor :

$$F = \{F_n(\Pi, \delta, \varphi) / n=1, 2, \dots\},$$

unde  $F_n(\Pi, \delta, \varphi) = \text{dpic}(t^n(\delta))$ , adică desenul descris de  $\Pi$ -cuvântul  $t^n(\delta)$ .

Vom considera în continuare că elementele mulțimii  $\Pi$  sunt etichetate cu valori de la 1 la  $p=|\Pi|$  ( $\Pi = \{\tau_1, \tau_2, \dots, \tau_p\}$ ). În exemplele care urmează (în construcția regulilor de transformare) vom referi funcția *Succ*, definită în continuare:

## Grafica 3D+

$$\text{Succ} : \Pi \rightarrow \Pi, \quad \text{Succ}(\tau_i) = \begin{cases} \tau_{i+1} & \text{dacă } i < p, \\ \tau_1 & \text{dacă } i = p. \end{cases}$$

Considerăm mulțimea primitivelor  $\Pi = \{r, u, l, d\}$ , unde  $(r, u, l, d) = (\rightarrow, \uparrow, \leftarrow, \downarrow)$ , baza  $\delta = r$  ( $\rightarrow$ ) și funcția de dezvoltare  $\varphi : \Pi \rightarrow \Pi^*$ ,  $\varphi(\tau) = \tau \text{Succ}(\tau) \text{Succ}^{-1}(\tau) \tau$ ,  $\forall \tau \in \Pi$ . Familia de fractali  $\mathcal{F}_1$  descrisă de  $t^1(\delta)$ ,  $t^2(\delta)$ ,  $t^3(\delta)$ , ... este ilustrată în Figura 32 a.

Atât în construirea cât și în prelucrarea fractalilor definiți după regulile descrise anterior, este adesea utilă următoarea proprietate:

$$t^n(w_1 w_2) = t^n(w_1) t^n(w_2), \quad \forall w_1, w_2 \in \Pi^* \text{ și } n > 0.$$

Această proprietate ne permite să dezvoltăm sau să prelucrăm un fractal pe porțiuni considerându-l format din subfractali, care respectă aceeași regulă de dezvoltare, aplicată mai multor baze, așa cum se poate vedea în exemplul următor.

### Exemplu.

Fie  $\Pi = \{r, e, u, f, l, g, d, h\}$  unde  $(r, e, u, f, l, g, d, h) = (\rightarrow, \nearrow, \uparrow, \nwarrow, \leftarrow, \swarrow, \downarrow, \searrow)$ ,  $\delta = urdl$ , iar regula de creștere  $\varphi(\tau) = \tau \text{Succ}(\tau) \text{Succ}^{-1}(\tau) \tau$ .

Familia  $\mathcal{F}_2 = \{\text{dpic}(t^1(\delta)), \text{dpic}(t^2(\delta)), \text{dpic}(t^3(\delta)), \dots\}$  reprezentată în Figura 32 b, a fost realizată utilizând proprietatea anterioară:  $t^n(\delta) = t^n(u) t^n(r) t^n(d) t^n(l)$ , pentru  $n=1, 2, 3, \dots$ . Fie  $\Pi = \{a, b, c\}$  unde  $(a, b, c) = (\nearrow, \searrow, \leftarrow)$ ,  $\delta = abc$  și  $\varphi(\tau) = \tau \text{Succ}(\tau) \text{Succ}^{-1}(\tau) \tau$ . Familia  $\mathcal{F}_3 = \{\text{dpic}(t^1(\delta)), \text{dpic}(t^2(\delta)), \text{dpic}(t^3(\delta)), \dots\}$  este ilustrată în Figura 32 c.

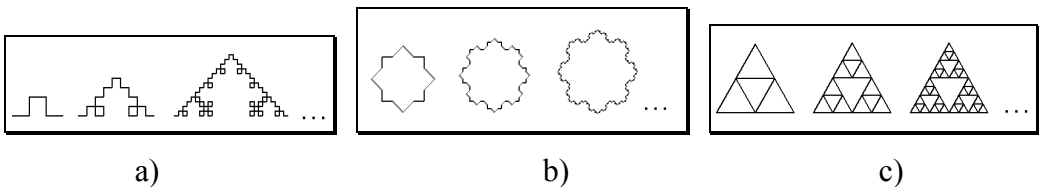


Figura 32 - Fractali cu structură regulată

## Cresterea Realismului Imaginilor

### 3.6.3 Lumină și umbră

Obiectivul acestei prelucrări este de a reda o imagine cât mai realistă și care să ofere cât mai multă informație.

Elementele luate în calcul sunt următoarele:

- a) *Sistemul de iluminare* - tip, poziție, etc.;
- b) *Caracteristicile suprafețelor* - reflexie, transparentă, etc.;
- c) *Poziția relativă a sistemului de iluminare și corp.*

Procesul de eliminare a suprafețelor acoperite și de simulare a iluminării se desfășoară simultan, adăugând fiecărei fețe un atribut de intensitate a culorii.

#### a) *Sistemul de iluminare*

Sursele luminoase pot fi :

- *punctiforme* : becuri, soare, flacără mică, etc.;
- *distribuite* : tuburi fluorescente, ferestre, etc.;
- *ambiante* : lumină care scaldă obiectele cu aceeași intensitate.

#### b) *Caracteristicile suprafețelor*

Proprietățile *de suprafață* ale corpurilor sunt :

- *reflexie*: zonele unui corp pot fi *mate* (care dispersează lumina, adică o reflectă după mai multe direcții) sau *sclipitoare* (care reflectă lumina după o direcție);
- *transparentă* : o zonă poate fi *translucidă* (prin care trece lumina) sau *opacă* (care nu permite trecerea luminii);
- *textura* : materialul din care este construit obiectul.

### c) Poziția relativă a sistemului de iluminare și corp

Intensitatea luminii reflectate ( $I_R$ ) este dată de *Legea reflexiei cosinus* sau *Legea lui Lambert* :

$$I_R = I_I * K_{material} * \cos \alpha$$

unde :

- $I_I$  este intensitatea luminii incidente;
- $K_{material}$  este o constantă de material;
- $\alpha$  este unghiul format de normala la plan cu direcție de iluminare (vezi Figura 33).

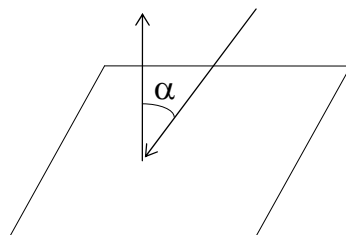


Figura 33 – Lumina reflectată

Dacă luăm în considerare și o sursă ambiantă ( $I_a$ ) atunci formula devine:

$$I_R = I_a * K^a_{material} + I_I * K_{material} * \cos \alpha / (1+r^2),$$

( $r$  fiind distanța la care se află sursa, cantitatea de lumină fiind invers proporțională cu pătratul distanței).

Iluminarea nu se face întotdeauna frontal (nu se vede întotdeauna ceea ce este și iluminat). Se obțin efecte dacă iluminarea este nefrontală, pentru că în această situație (când se precizează pe lângă poziția observatorului și poziția sursei de iluminare) există posibilitatea ca părți vizibile ale corpului să nu fie iluminate (sunt umbrite). În această situație, calculele de *vizibilitate* (prezentate la *eliminarea suprafețelor nevăzute*) se vor face atât din poziția observatorului ( $\Omega$ ) cât și din poziția sursei de iluminare (S). Pentru fiecare pixel vom avea următoarele situații:

- este văzut atât de  $\Omega$  cât și de S - este vizibil și luminat;
- nu este văzut atât de  $\Omega$  - este invizibil, deci nu se desenează;
- este văzut atât de  $\Omega$  dar nu și de S - este vizibil dar umbrit.

Pentru reprezentare se poate folosi un algoritm de tip *z-buffer* modificat sau *metoda drumului optic* (*Ray-Tracing* descrisă în [[63]]).